

01;08

Возбуждение квазиплоской сдвиговой волны поверхностным акустическим излучателем, создающим нормальные напряжения

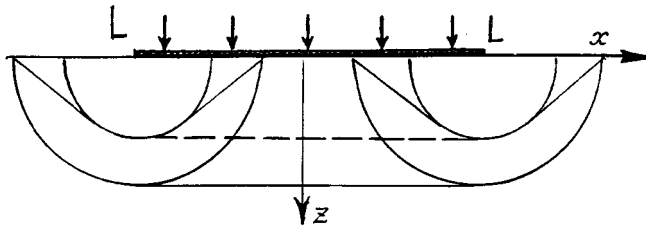
© А.П. Киселев, Е. Крылова, Л.Ю. Фрадкин

Институт проблем машиноведения РАН, С.-Петербург, Россия
Университет Саут Банк, Лондон, Великобритания

Поступило в Редакцию 24 марта 1997 г.

Рассматривается генерация объемных упругих волн широко используемым в акустической дефектоскопии излучателем, создающим на границе упругого тела нормальные напряжения. Излучатель велик сравнительно с длинами возникающих волн. Установлена возможность возбуждения в его ближней зоне сдвиговой волны с плоским фронтом и оценена ее интенсивность.

Фронты объемных волн, возбуждаемых акустическим излучателем, создающим на границе изотропного однородного упругого тела синфазные колебания нормального напряжения, изображены на рисунке. Это известные [1–3] продольные и сдвиговые краевые волны, головные волны, квазиплоская продольная, а также квазиплоская сдвиговая волна, фронт которой показан пунктиром. Мы отмечаем возможность существования этой волны, поясняем механизм ее возникновения и оцениваем ее интенсивность.



1. Существо дела можно понять при анализе двумерной линейной модели в случае гармонического по времени процесса. Перемещение $\mathbf{u}(x, z)e^{-i\omega t}$ упругого полупространства в плоскости (x, z) описывается уравнением

$$\frac{1}{k^2} \text{grad div } \mathbf{u} - \frac{1}{\varkappa^2} \text{rot rot } \mathbf{u} + \mathbf{u} = 0, \quad z > 0, \quad (1)$$

где k и \varkappa — волновые числа продольной и сдвиговой волн. Излучатель моделируется заданием при $z = 0$ касательного и нормального напряжений в виде $\sigma_{xz} = 0$ и

$$\sigma_{zz} = \begin{cases} p(x)e^{-i\omega t}, & |x| \leq L; \\ 0, & |x| > L, \end{cases} \quad (2)$$

где $p(x)$ — распределение амплитуды нагрузки по излучателю. Процесс не зависит от координаты y . Особенное внимание исследователей привлекал случай $p = \text{const}$.

2. Выразим решение нашей задачи через решение $\mathbf{G}(x - \xi, z)$ классической задачи Лэмба, где в точке $x = \xi$ границы задана точечная вертикальная нагрузка $p(x) = \delta(x - \xi)$. Очевидно,

$$\mathbf{u}(x, z) = \int_{-L}^L \mathbf{G}(x - \xi, z) p(\xi) d\xi. \quad (3)$$

Сдвиговая часть \mathbf{G} (продольная нас не интересует) имеет вид [4]

$$\mathbf{G}^S(x - \xi, z) = \text{rot}(\mathbf{e}_y, \psi), \quad (4)$$

где \mathbf{e}_y — орт оси y , а $\psi = \psi(x - \xi, z)$ — соответствующий поперечный потенциал. Для сдвигового поля излучателя \mathbf{u}^S имеем

$$\mathbf{u}^S = \text{rot}(\mathbf{e}_y, I), \quad I = \int_{-L}^L \psi(x - \xi, z) p(\xi) d\xi. \quad (5)$$

3. На глубине в несколько длин волн, $\varkappa z \gg 1$, при не слишком больших (именно, докритических) углах наблюдения θ , как известно [4],

$$\psi(x - \xi, z) = \frac{\exp(i\varkappa r)}{\sqrt{r}} g(\theta) \left(1 + O\left(\frac{1}{\varkappa r}\right) \right). \quad (6)$$

Здесь $r = \sqrt{(x - \xi)^2 + z^2}$, $\sin \theta = \frac{x - \xi}{r}$, а $g(\theta)$ — диаграмма направленности волны сдвига. Сначала нам потребуется лишь вытекающее из симметрии задачи Лэмба свойство диаграммы обращаться в нуль под источником

$$g(0) = 0. \quad (7)$$

4. Будем считать излучатель большим сравнительно с длиной сдвиговой волны $\kappa L \gg 1$. Рассмотрим наиболее интересное для дефектоскопии ближнее поле излучателя

$$(\kappa L)^2 \gg \kappa z \gg 1. \quad (8)$$

Вклад в интеграл (5) от быстроосциллирующей функции ψ вносят концы промежутка $\xi = \pm L$ (они описывают краевые волны), а также точка стационарности фазы $\xi = x$, если она лежит внутри промежутка. В соответствии со стандартным методом стационарной фазы разложим подынтегральную функцию в окрестности стационарной точки

$$\psi(x - \xi, z) \approx \frac{\exp(i\kappa z)}{\sqrt{z}} g\left(\frac{\eta}{z}\right) p(x + \eta) \exp\left(i\kappa \frac{\eta^2}{2z}\right), \quad (9)$$

$$\eta = \xi - x.$$

Вследствие (7) вклад стационарной точки в главном порядке равен нулю. Более того, для случая постоянного p можно показать, что он исчезает и во всех порядках, поскольку в высших членах разложения, уточняющего (6), амплитуда нечетна по η , тогда как фаза четна.

5. Допустим теперь, что нагрузка не постоянна вдоль излучателя. Вблизи стационарной точки $p(x + \eta) \approx p(x) + \eta p'(x)$, и вклад стационарной точки связан с квадратичным по η членом, равным

$$\frac{\exp(i\kappa z)}{z\sqrt{z}} g'(0) p'(x) \eta^2 \exp\left(i\kappa \frac{\eta^2}{2z}\right). \quad (10)$$

Из явного выражения для диаграммы [4] следует, что

$$g'(0) = \frac{\exp\left(-\frac{i\pi}{4}\right)}{\sqrt{2\pi\mu}} \frac{2k}{\kappa\sqrt{\kappa}}, \quad (11)$$

где μ — модуль сдвига. Используя модификацию метода стационарной фазы для случая амплитудной функции, имеющей двукратный нуль

в стационарной точке [5], после некоторых выкладок находим для соответствующего волнового поля

$$\mathbf{u}^{S, plane} \approx \frac{2k}{\mu \kappa^3} p'(x) \exp(i\kappa z) \mathbf{e}_x, \quad (12)$$

где \mathbf{e}_x — орт оси x . Выражение (12), полученное для точек, лежащих под излучателем, имеет фазу плоской сдвиговой волны, бегущей вниз.

Отметим, что частотная зависимость поля (12) содержит дополнительный множитель $\frac{1}{i\omega}$ по сравнению с таковой для продольной квазиплоской волны. Поэтому в нестационарном случае ее временная зависимость — это интеграл от временной зависимости в продольной волне.

б. Таким образом, возникновение квазиплоской сдвиговой волны обусловлено пространственной неоднородностью вертикального напряжения, создаваемого излучателем на границе. Рассмотрение непостоянных p важно в связи с тем, что для подавления краевых волн, являющихся для дефектоскопии помехами, целесообразна аподизация — создание напряжений, обращающихся в нуль на краях излучателя. При этом непременно возникает описанная выше волна сдвига с плоским фронтом.

Работа начата во время поддержанного Королевским Обществом визита первого автора в Лондонский Университет Саут Банк, и продолжена при поддержке гранта ИНТАС-РФФИ 95–0012.

Авторы признательны Б. Бриджу за стимулирующее обсуждение.

Список литературы

- [1] *Weight J.P.* // J. Acoust. Soc. Amer. 1987.V. 81. N 4. P. 815–826.
- [2] *Tang X.M., Toksöz M.N., Cheng C.H.* // J. Acoust. Soc. Amer. 1990. V. 87. N 5. P. 1894–1902.
- [3] *Djelouah H., Baboux J.C.* // J. Acoust. Soc. Amer. 1992. V. 92. N 5. P. 2932–2941.
- [4] *Ewing M.E., Jardetsky W.S., Press F.* Elastic waves in layered media. McGraw Hill, N.Y., 1957. 380 p.
- [5] *Федорюк М.В.* Метод перевала. М.: Наука, 1977. 367 с.